

# جبران‌سازی خطاهای سرعت و موقعیت یک سیستم ناوبری تلفیقی اینرسی / سماوی به کمک هموارسازی و فیلتر کالمن درجه دوم

هادی نوهاری\* (استادیار)

حیب قربور اصل (استادیار)

دانشکده‌ی هواشناسی، دانشگاه صنعتی شریف

سید فرهاد ابطحی (دانشجوی دکترا)

بخش مهندسی مکاتب، دانشگاه شهزاد

هدف نوشتار حاضر جبران خطای سرعت و موقعیتی است که در ابتدای عملکرد حساسه‌ی ستاره‌نگر در یک سیستم ناوبری تلفیقی اینرسی / سماوی وجود دارد. این دو سیستم ناوبری به وسیله‌ی فیلتر کالمن درجه دوم تلفیق شده‌اند. به‌منظور حل دقیق معادلات ناوبری، از الگوریتم انتگرال‌گیری دیجیتال استفاده شده است. به علاوه، به‌منظور کاهش بار محاسباتی، در تمامی مراحل ناوبری و تلفیق از کوتاربینون‌ها استفاده شده است. با استفاده از معادلات غیرخطی و به‌کارگیری هموارسازی و پسروی، وضعیت اولیه و بایاس شتاب سنج‌ها با دقت زیاد تخمین زده شده است. افزون بر این، در حین پسروی و هموارسازی، وضعیت وسیله‌ی در لحظات پیشین به دقت تخمین زده می‌شود. در ادامه، با انجام یک ناوبری موازی جدید، که براساس وضعیت برآورد شده‌ی لحظات پیشین و جبران‌سازی بایاس شتاب سنج‌ها صورت می‌گیرد، خطاهای سرعت و موقعیت جبران می‌شود. در انتها با انجام شبیه‌سازی برای یک ماهاواره‌بر، روش ناوبری ارائه شده بررسی شده است.

nobahari@sharif.edu  
ghanbarpour@sharif.edu  
farhadabtahishz@gmail.com

واژگان کلیدی: ناوبری اینرسی، ناوبری سماوی، ناوبری تلفیقی، فیلتر کالمن مرتبه دوم، هموارسازی، پسروی.

## ۱. مقدمه

روش دیگر در تعیین موقعیت، استفاده از سنجش غیرمستقیم افق<sup>۳</sup> است که در آن از شکست نور ستارگان به وسیله‌ی اتمسفر در سنجش افق استفاده می‌شود.<sup>[۴-۶]</sup> اگرچه دقت این روش از روش سنجش مستقیم بیشتر است، کاربرد آن محدود به ناوبری در نزدیکی زمین است. افزون بر این، محدودیت تعداد ستارگانی که پرتو آن‌ها دچار شکست شده و همچنین عدم قطعیت در مدل اتمسفری، به ایجاد خطای در تعیین موقعیت به این روش مجزر می‌شود. از ترکیب دو روش پیش‌گفته بهمکار فیلتر کالمن درجه دوم<sup>۴</sup> دقت بیشتری در ناوبری حاصل شده است.<sup>[۷]</sup> البته استفاده از واحد اندازه‌گیری اینرسی<sup>۵</sup> و ستاره‌نگر<sup>۶</sup> و تلفیق آن‌ها از طریق فیلتر ذرات درجه دوم<sup>۷</sup> یک سیستم ناوبری دقیق طراحی شده است.<sup>[۸]</sup> استفاده از این سیستم ناوبری، در وسایلی همچون ماهنشین‌ها که در آنها ارتفاع ستارگان از افق با دقت قابل سنجش است، مناسب است.

با استفاده از ناوبری سماوی، وضعیت وسیله را نسبت به دستگاه اینرسی نیز می‌توان تعیین کرد. با تلفیق وضعیت سنجیده شده با محاسبات سیستم ناوبری اینرسی، ناوبری دقیق‌تری حاصل می‌شود. پس از رسیدن وسیله به ارتفاع کافی، سیستم

امروزه سیستم ناوبری اینرسی متصل به بدنه (SINS) در حوزه‌ی ناوبری کاربرد گسترده‌ی دارد. این سیستم ناوبری خودگردان است و معمولاً نزد داده‌دهی بالایی دارد. سیستم ناوبری اینرسی قادر به محاسبه‌ی وضعیت، سرعت و موقعیت است اما، در کاربردهای درازمدت — نظیر ناوبری ماهاواره‌برها — محاسبات آن به دلیل رشد خطای افزاینده با زمان نداشته باشد، مورد نیاز است. ناوبری سماوی<sup>۱</sup> یکی از گزینه‌های است که می‌توان از آن در ناوبری بسیاری از وسایل پرنده نظیر ماهاواره‌برها بهره برد. ناوبری سماوی غیرفعال، ساده و نسبتاً ارزان است و افزون بر این خطای افزاینده با زمان ندارد.

از ناوبری سماوی می‌توان در تعیین وضعیت و موقعیت استفاده کرد. در تعیین وضعیت می‌توان از روش سنجش مستقیم افق<sup>۲</sup> استفاده کرد.<sup>[۹-۱۰]</sup> البته به دلیل دقت کم سیستم‌های سنجش افق، تعیین موقعیت با این روش با خطای زیادی همراه است.

\* نویسنده مسئول

تاریخ: دریافت ۲۵ اکتبر ۱۳۹۳، اصلاحیه ۲، ۱۳۹۴، ۶، پذیرش ۶ اکتبر ۱۳۹۴.

## ۲. مدل سازی

در این بخش به بررسی عملکرد و چگونگی به کارگیری سیستم ناوبری اینرسی، سیستم ناوبری سماوی و فیلتر کالمون درجه دوم در مطالعه‌ی حاضر می‌پردازیم. معادلات نیون در دستگاه اینرسی<sup>۱۳</sup> بیان ساده‌تری دارند.<sup>[۱۴]</sup> همچنین حساسیت‌های سیستم ناوبری و ضعیت سیستم با این نیون در دستگاه اینرسی<sup>۱۵</sup> بیان ساده‌تر است. در این نوشتار به منظور رعایت سادگی از دستگاه اینرسی استفاده شده است. از سوی دیگر، به دلیل استفاده از فیلتر غیرخطی، نیازی به خطی سازی معادلات ناوبری نیست.

در این نوشتار از چارچوب اینرسی<sup>۱۶</sup> و چارچوب بدنی<sup>۱۷</sup> استفاده شده است. مرکز چارچوب اینرسی در مرکز زمین، محور  $x$  و  $y$  آن در صفحه استوا و محور  $z$  آن در راستای محور چرخش زمین است.<sup>[۱۸]</sup> مرکز چارچوب بدنی در مرکز جرم وسیله است؛ نسبت به بدنی وسیله، محور  $x$  در راستای رو به رو، محور  $y$  در راستای سمت راست، و محور  $z$  به سمت پایین است. وضعیت وسیله را می‌توان به کمک زوایای اوپلر، ماتریس انتقال یا کواترنیون نمایش داد. معادله‌ی دیفرانسیل مربوط به کواترنیون عبارت است از:<sup>[۱۹]</sup>

$$\dot{q}_b^i = \omega_{ib}^b * p_{ib}^b \quad (1)$$

که در آن،  $\dot{q}_b^i$  کواترنیون برای انتقال از چارچوب بدنی به چارچوب اینرسی، و  $*$  نشانه‌ی ضرب کواترنیون‌هاست. همچنین بردار  $p_{ib}^b$  برای  $b$  به  $b$  تبدیل باشد<sup>[۲۰]</sup> و نیز  $\omega_{ib}^b$  بردار سرعت زاویه‌ی جسم نسبت به محور اینرسی در دستگاه بدنی است و به صورت  $\omega_{ib}^b = \omega_x^b \hat{w}_x + \omega_y^b \hat{w}_y + \omega_z^b \hat{w}_z$  به مؤلفه‌هایش تجزیه می‌شود. در این نوشتار خروجی ژیروسکوپ‌ها<sup>۲۱</sup> مطابق رابطه‌ی ۲ مدل سازی می‌شود:

$$\omega_{ib}^b = \tilde{\omega}_{ib}^b - \epsilon_c^b - \epsilon_r^b \quad (2)$$

که در آن،  $\tilde{\omega}_{ib}^b = [\varepsilon_x \varepsilon_y \varepsilon_z]^T$  و  $\epsilon_c^b = [w_{gx}, w_{gy}, w_{gz}]^T$  به ترتیب نمایانگر بایاس و نویز سنجش ژیروسکوپ‌هاست. بردار  $\dot{q}_b^i$  کواترنیون تبدیل بین دستگاه‌های بدنی و اینرسی است و مؤلفه‌های آن عبارت‌اند از:

$$q_b^i = \begin{bmatrix} q_1 \\ q_2 \\ q_3 \\ q_4 \end{bmatrix} \quad (3)$$

معادلات دیفرانسیل مربوط به سرعت و موقعیت در سیستم ناوبری اینرسی عبارت است از:<sup>[۲۲]</sup>

$$\dot{v}^i = C_b^i f^b + g^i \quad (4)$$

$$\dot{r}^i = v^i \quad (5)$$

ماتریس انتقالی است که از کواترنیون  $q_b^i$  حاصل می‌شود:

$$C_b^i = \begin{bmatrix} (q_1^i + q_2^i - q_3^i - q_4^i) & 2(q_2 q_3 - q_1 q_4) & 2(q_2 q_4 - q_1 q_3) \\ 2(q_2 q_3 + q_1 q_4) & (q_1^i - q_2^i + q_3^i - q_4^i) & 2(q_3 q_4 - q_1 q_2) \\ 2(q_2 q_4 + q_1 q_3) & 2(q_3 q_4 + q_1 q_2) & (q_1^i - q_2^i - q_3^i + q_4^i) \end{bmatrix} \quad (6)$$

همچنین  $f^b$  نیروی مخصوص وارد شده بر وسیله است و ارتباط آن با خروجی شتاب‌سنج‌ها<sup>۲۳</sup> در این نوشتار چنین است:

$$f^b = \tilde{f}^b - b - w_a \quad (7)$$

ناوبری سماوی می‌تواند به کمک رصد ستارگان توسط ستاره‌نگر، وضعیت وسیله را درستگاه اینرسی با دقت زیادی بسنجد؛ اگرچه این سنجش همراه با نویز است. با تلفیق سیستم‌های ناوبری اینرسی و سماوی می‌توان وضعیت کنونی وسیله و همچنین با این ژیروسکوپ‌ها را به طور دقیق تخمین زد. بدین‌منظور، محققین پس از خطی سازی معادلات وضعیت<sup>[۲۴]</sup> سیستم‌های ناوبری اینرسی و سماوی را به کمک فیلتر ذرات درجه دوم تلفیق کرده‌اند. درنتیجه، وضعیت وسیله با دقت زیاد برآورد می‌شود و نجف افزایش خطای سرعت به شدت کاهش می‌یابد؛ پس از آن نجف افزایش خطای موقعیت کم می‌شود. با این وجود، معادلات خطی شده به‌اندازه‌ی معادلات تلفیقی، قابل تخمین و جبران نیستند. افزون براین، به‌علت خطای اولیه‌ی وضعیت و خطای سنجش حس‌گرهای اینرسی، در آغاز تلفیق خطای سرعت و موقعیت زیادی وجود دارد که با تلفیق، ماتریس انتقال<sup>۲۵</sup> را به کار گرفتند.<sup>[۲۶]</sup> همچنین راهکاری برای تخمین با این شتاب‌سنج‌ها پس از خاموش شدن موتور ارابه شده است. اگرچه بدین ترتیب خطای ناوبری کاهش می‌یابد، اما خطای خطی سازی همچنان وجود دارد. در بررسی‌های بعدی معادلات خطای کانال‌های موقعیت استخراج شده<sup>[۲۷]</sup> و سهم خطای هریک از حس‌گرهای اینرسی در خطای مطالعه شده است. در ادامه به کمک وضعیت و موقعیتی که به کمک حس‌گر ستاره‌نگر حاصل می‌شود، و بازنویسی معادلات ناوبری اینرسی با کمک داده وضعیت، خطای تخمین در کانال ارتفاع کاهش یافته است. حاصل تلفیق سیستم‌های ناوبری اینرسی و سماوی با سامانه‌ی موقعیت‌یاب جهانی (GPS)، یک سیستم دقیق ناوبری برای تخمین موقعیت، سرعت و وضعیت است.<sup>[۲۸]</sup> با این وجود، از آنجا که GPS همیشه در دسترس نیست و همچنین داده‌های آن بعض خطای عمده دارد، این سیستم آسیب‌پذیر است.

در این نوشتار به‌منظور دست‌یابی به دقت بیشتر از معادلات غیرخطی به عنوان معادلات سیستم تلفیقی استفاده شده است. از سوی دیگر، در سیستم ناوبری تلفیقی اینرسی/سماوی فقط وضعیت و با این ژیروسکوپ‌ها مشاهده‌پذیرند. به‌منظور کاهش حجم محاسبات، در تلفیق فقط از معادلات ناوبری وضعیت استفاده شده، ولذا بردار حالت<sup>۲۹</sup> فقط شامل وضعیت و با این ژیروسکوپ‌هاست. برای تلفیق از فیلتر کالمون درجه دوم (UKF) استفاده شده است، زیرا از فیلتر کالمون توسعه یافته<sup>[۲۰]</sup> دقیق‌تر بوده<sup>[۲۱]</sup> و نیز از فیلتر ذرات درجه دوم هزینه‌ی محاسباتی کم‌تری دارد. از سوی دیگر حل معادلات ناوبری با دقت زیاد ضرورت دارد و بدین‌منظور از الگوریتم انتگرال‌گیری دیجیتال<sup>[۲۲]</sup> در حل معادلات استفاده شده است. افزون براین، به‌منظور کاهش هزینه‌ی محاسبات و پرهیز از تکینگی، در تمامی مراحل ناوبری و تلفیق از کواترنیون‌ها استفاده شده است. از آنجا که کواترنیون‌ها فضای برداری خاص خود را دارند، در تلفیق تمهیدات خاصی لحاظ شده است. چنان‌که پیش‌تر عنوان شد، در آغاز تلفیق ناوبری اینرسی و سماوی با خطای سرعت و موقعیت زیادی مواجه‌یم که با تلفیق از میان نمی‌رود. برای جبران این خطای در نوشتار حاضر وضعیت اولیه به کمک پسروی و هموارسازی تخمین زده شده است. همچنین روشنی برای تخمین با این شتاب‌سنج‌ها در هر دو مرحله‌ی پرواز تحت نیرو<sup>[۲۳]</sup> و پرواز آزاد<sup>[۲۴]</sup> ارائه شده است. در ادامه برایه‌ی وضعیت اولیه و با این شتاب‌سنجی، یک ناوبری جدید و دقیق به موازیت ناوبری جاری صورت می‌گیرد و داده‌های سرعت و موقعیت ناوبری جدید، جایگزین داده‌های مربوط به ناوبری جاری می‌شود. در تمامی مراحل ناوبری، از تخمین مستقیم و معکوس کواترنیون‌ها برای حل معادلات وضعیت استفاده شده است. به این ترتیب هیچ عبارت سینوس و کسینوسی در کل سیستم ناوبری ظاهر نمی‌شود و باز محاسباتی ناشی از محاسبه‌ی نسبت‌های مثلثاتی زوایای اوپلر به سیستم تحمیل نمی‌شود.

که ماتریس انتقال  $C_{b(k)}^{b(k-1)}$  از کواترنیون  $\mathbf{q}_{b(k)}^{b(k-1)}$  حاصل می‌شود. نمو سرعت بر اثر جاذبه نیز مطابق رابطه‌ی ۱۷ محاسبه می‌شود:<sup>[۱۴]</sup>

$$\Delta \mathbf{v}_{g,k}^i = \mathbf{g}_{k-\frac{1}{4}}^i \Delta t \quad (۱۷)$$

$\frac{1}{4}$  بدار جاذبه نسبت به چارچوب اینرسی در موقعیت  $r_{k-\frac{1}{4}}^i$  است؛ این بدار موقعیت عبارت است از:

$$\mathbf{r}_{k-\frac{1}{4}}^i = \mathbf{r}_k^i + \frac{1}{4} \mathbf{v}_{k-\frac{1}{2}}^i \Delta t \quad (۱۸)$$

موقعیت وسیله نیز چنین منتشر می‌شود:

$$\mathbf{r}_k^i = \mathbf{r}_{k-1}^i + \mathbf{v}_{k-1/2}^i \Delta t \quad (۱۹)$$

که در آن بدار  $\mathbf{v}_{k-1/2}^i$  عبارت است از:

$$\mathbf{v}_{k-1/2}^i = \frac{1}{2} (\mathbf{v}_k^i + \mathbf{v}_{k-1}^i) \quad (۲۰)$$

موقعیت ستارگان در چارچوب اینرسی را می‌توان ثابت در نظر گرفت. از طرف دیگر، یک ستاره‌نگر می‌تواند وضعیت خود نسبت به ستارگان به‌کمک رصد حداقل سه ستاره و استفاده از جدول ستارگان<sup>[۱۸]</sup> بسنجد. بنابراین اگر وضعیت نصب ستاره‌نگر بر وسیله معلوم باشد، می‌توان وضعیت وسیله را نسبت به چارچوب اینرسی محاسبه کرد. هرچه تعداد ستارگان رصد شده بیشتر باشد، سنجش وضعیت دقیق‌تر خواهد بود. با تلفیق وضعیت سنجیده شده با محاسبات سیستم ناوبری اینرسی می‌توان وضعیت و بایاس ژیروسکوپ‌ها را با دقت زیادی تخمین زد. با توجه به معادله‌ی ۴، خطای وضعیت نقش مهمی در ایجاد خطای سرعت و به‌تبع آن خطای موقعیت دارد. بنابراین، با تخمین دقیق وضعیت شاهد کاهش چشمگیر نزخ افزایش خطای سرعت خواهیم بود.

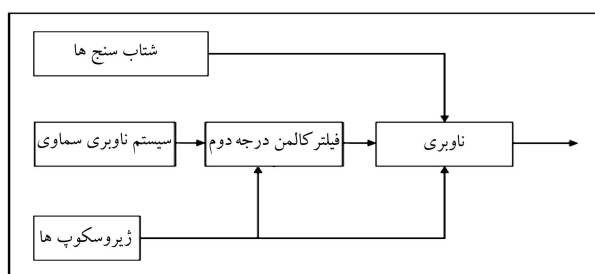
در این نوشتار از فیلتر کالمن درجه دوم در تلفیق ناوبری اینرسی و سماوی استفاده شده است (شکل ۱). مدل گستته‌ی فضایی حالت سیستم غیرخطی مورد مطالعه عبارت است از:

$$\mathbf{x}_{k+1} = \mathbf{f}(\mathbf{x}_k, \mathbf{w}_k, \mathbf{u}_k) \quad (۲۱)$$

$$\mathbf{y}_k = \mathbf{h}(\mathbf{x}_k, \mathbf{u}_k, \nu_k) \quad (۲۲)$$

که در آن  $\mathbf{x}$  بدار حالت سیستم،  $\mathbf{w}$  نویز فرایند<sup>[۱۹]</sup>،  $\nu$  نویز سنجش<sup>[۲۰]</sup> و  $\mathbf{u}$  ورودی، و  $\mathbf{y}$  بدار مشاهدات است. در سیستم مورد مطالعه‌ی این نوشتار معادله‌ی ۲۲ را می‌توان ساده کرد به:

$$\mathbf{y}_k = \mathbf{q}(\nu_k) * (\mathbf{H} \mathbf{x}_k) \quad (۲۳)$$



شکل ۱. تلفیق سیستم‌های ناوبری اینرسی و سماوی به‌وسیله‌ی فیلتر کالمن درجه دوم.

که در آن،  $\mathbf{b} = [b_x \ b_y \ b_z]^T$  نمایان‌گر بایاس و  $\mathbf{w}_a = [w_{ax} \ w_{ay} \ w_{az}]^T$  سنجش شتاب سنج هاست. در معادله‌ی ۴،  $\mathbf{g}^i$  معرف بدار جاذبه در چارچوب اینرسی است که در اینجا برای محاسبه‌ی آن از مدل J2 استفاده شده است.<sup>[۱۶]</sup>

استفاده از روش‌های مانند اویلر و رانج‌کوتا در طی گستته‌سازی و حل معادلات ناوبری — حتی اگر شرایط اولیه و سنجش حسگرهای اینرسی دقیق باشند — با بروز خطاهای زیادی همراه است. به‌منظور حل دقیق معادلات ناوبری و نزدیک بودن نتایج حل به نتایج انتگرال‌گیری پیوسته‌ی معادلات ناوبری، از الگوریتم انتگرال‌گیری دیجیتال<sup>[۱۵]</sup> در گستته‌سازی و حل معادلات ناوبری استفاده شده است. نمو زاویه و نمو سرعت<sup>[۱۷]</sup> مطابق روابط ۸ و ۹ محاسبه می‌شود:

$$\Delta \theta_k = \int_{t_{k-1}}^{t_k} \omega_{ib}^b dt \approx \frac{\omega_{ib}^b(k) + \omega_{ib}^b(k-1)}{2} (t_k - t_{k-1}) \quad (۸)$$

$$\Delta \mathbf{v}_{f,k}^b = \int_{t_{k-1}}^{t_k} \mathbf{f}^b dt \approx \frac{\mathbf{f}^b(k) + \mathbf{f}^b(k-1)}{2} (t_k - t_{k-1}) \quad (۹)$$

کواترنیون وضعیت چنین به‌روز می‌شود:

$$\mathbf{q}_{b(k)}^i = \mathbf{q}_{b(k-1)}^i * \mathbf{q}_{b(k)}^{b(k-1)} \quad (۱۰)$$

که  $\mathbf{q}_{b(k)}^{b(k-1)}$  حل معادلات وضعیت است و مطابق رابطه‌ی ۱۱ محاسبه می‌شود:

$$\mathbf{q}_{b(k)}^{b(k-1)} = \begin{bmatrix} \cos(\|\cdot, 5\varphi_k\|) \\ \frac{\sin(\|\cdot, 5\varphi_k\|)}{\|\varphi_k\|} \varphi_k \end{bmatrix} \quad (۱۱)$$

و در آن  $\varphi_k$  بدار چرخش از چارچوب بدنی در زمان  $t_k$  به چارچوب بدنی در زمان  $1+k$  است و این‌گونه محاسبه می‌شود:<sup>[۸]</sup>

$$\varphi_k \approx \Delta \theta_k + \frac{1}{12} \Delta \theta_{k-1} \times \Delta \theta_k \quad (۱۲)$$

به‌دلیل زیاد بودن نزخ به روزرسانی داده ژیروسکوپ‌ها، می‌توان به‌جای محاسبه‌ی سینوس و کسینوس زاویه‌ی چرخش  $\varphi_k$ ، که هزینه‌ی محاسباتی دارد، چند عبارت محدود از بسط تیلور را محاسبه کرد. در این نوشتار تنها از سه جمله‌ی اول بسط تیلور سینوس و کسینوس استفاده شده است. بنابراین رابطه‌ی ۱۱ تبدیل خواهد شد به:

$$\mathbf{q}_{b(k)}^{b(k-1)} = \begin{bmatrix} 1 - \frac{\|\cdot, 5\varphi_k\|^3}{24} + \frac{\|\cdot, 5\varphi_k\|^5}{120} \\ \frac{(\|\cdot, 5\varphi_k\| - \frac{\|\cdot, 5\varphi_k\|^3}{24} + \frac{\|\cdot, 5\varphi_k\|^5}{120})}{\|\cdot, 5\varphi_k\|} \varphi_k \end{bmatrix} \quad (۱۳)$$

معادله‌ی سرعت نیز مطابق رابطه‌ی ۱۴ منتشر می‌شود:<sup>[۱۲]</sup>

$$\mathbf{v}_k^i = \mathbf{v}_{k-1}^i + \Delta \mathbf{v}_{f,k}^i + \Delta \mathbf{v}_{g,k}^i \quad (۱۴)$$

که در آن  $\Delta \mathbf{v}_{f,k}^i$  نمایان‌گر نمو سرعت بر اثر نیروی جاذبه است. نمو بر اثر نیروی مخصوص و مطابق رابطه‌ی ۱۵ محاسبه می‌شود:<sup>[۱۵]</sup>

$$\Delta \mathbf{v}_{f,k}^i = \mathbf{C}_{b(k-1)}^i \Delta \mathbf{v}_{f,k}^{b(k-1)} \quad (۱۵)$$

ماتریس انتقال  $\mathbf{C}_{b(k-1)}^i$  از کواترنیون  $\mathbf{q}_{b(k-1)}^i$  حاصل می‌شود. همچنین از رابطه‌ی ۱۶ محاسبه می‌شود:

$$\begin{aligned} \Delta \mathbf{v}_{f,k}^{b(k-1)} &= \int_{t_{k-1}}^{t_k} \mathbf{C}_{b(k)}^{b(k-1)} \mathbf{f}^b dt \approx \Delta \mathbf{v}_{f,k}^b + \frac{1}{4} \Delta \theta_k \times \Delta \mathbf{v}_{f,k}^b \\ &\quad + \frac{1}{12} (\Delta \theta_{k-1} \times \Delta \mathbf{v}_{f,k}^b + \Delta \mathbf{v}_{f,k-1}^b \times \Delta \theta_k) \end{aligned} \quad (۱۶)$$

در این نوشتار،  $\mathbf{x}$ ،  $\mathbf{u}$ ،  $\mathbf{w}$ ،  $\mathbf{v}$  و  $\mathbf{H}$  چنین تعریف می‌شوند:

$$\mathbf{x} = [q_1 \ q_2 \ q_3 \ q_4 \ \varepsilon_x \ \varepsilon_y \ \varepsilon_z]^T = \begin{bmatrix} \mathbf{q} \\ \mathbf{\varepsilon} \end{bmatrix} \quad (24)$$

$$\mathbf{u} = [\tilde{\omega}_x \ \tilde{\omega}_y \ \tilde{\omega}_z]^T \quad (25)$$

$$\mathbf{w} = [w_{gx} \ w_{gy} \ w_{gz}]^T \quad (26)$$

$$\mathbf{v} = [\nu_x \ \nu_y \ \nu_z]^T \quad (27)$$

$$\mathbf{H} = \begin{bmatrix} 1 & 0 & 0 & 0 & 0 & 0 & 0 \\ 0 & 1 & 0 & 0 & 0 & 0 & 0 \\ 0 & 0 & 1 & 0 & 0 & 0 & 0 \\ 0 & 0 & 0 & 1 & 0 & 0 & 0 \end{bmatrix} \quad (28)$$

که در آن  $\lambda$  یک عامل تناسب  $2^4$  است و عبارت است از:

$$\lambda = \alpha^r (L + \kappa) - L \quad (32)$$

مقدار ثابت  $\alpha$  نحوه‌ی پخش نقاط سیگما را معین می‌کند و معمولاً در بازه  $10^{-6}$  تا  $1$  است. مقدار ثابت  $\kappa$  برای تنظیم دست‌یابی به دقت بیشتر به کار می‌رود. در نهایت نقاط سیگما مطابق رابطه‌ی  $34$  محاسبه می‌شوند:

$$\begin{aligned} \mathbf{x}_{k-1}^{a(i)} &= \hat{\mathbf{x}}_{k-1}^a \\ \mathbf{x}_{k-1}^{a(i)} &= \begin{bmatrix} \mathbf{q}(\varphi'_{k-1}) * \mathbf{q}_{k-1} \\ \varepsilon_{k-1} + \Delta\varepsilon_{k-1}^i \\ \mathbf{x}_k^{w(i)} \end{bmatrix}, \quad i = 1, 2, \dots, 2L \end{aligned} \quad (34)$$

**۳. بهروزرسانی زمان:** در این مرحله، نقاط سیگما به وسیله‌ی تابع سیستم و مدل سنجش پردازش می‌شود:

$$\mathbf{x}_k^{x(i)} = \mathbf{f}(\mathbf{x}_{k-1}^{x(i)}, \mathbf{x}_{k-1}^{w(i)}, \mathbf{u}_k) \quad (35)$$

$$\gamma_k^i = \mathbf{h}(\mathbf{x}_k^{x(i)}) \quad (36)$$

$\mathbf{x}_k^{x(i)}$  برداری است که از  $n$  عضو اول بردار  $\mathbf{x}_k^{a(i)}$  حاصل می‌شود؛  $n$  طول بردار حالت و در سیستم مورد مطالعه برابر  $7$  است. همچنین  $\mathbf{x}_{k-1}^{x(i)}$  برداری است که از  $q$  عضو بعدی ساخته می‌شود؛  $q$  طول بردار  $\mathbf{w}$  است. ابتدا بردار میانگین بردارهای حالت پیش‌بینی شده محاسبه می‌شود. از آنجا که بردارهای مربوط به پیش‌بینی کواترنیون‌های وضعیت، فضای برداری مختص به خود را دارند، در میانگین‌گیری آن‌ها باید تمهدات خاصی لحاظ شود. ابتدا بردار  $\mathbf{x}_k^x$  مطابق رابطه‌ی  $37$  تجزیه می‌شود:

$$\mathbf{x}_k^{x(i)} = \begin{bmatrix} \mathbf{x}_k^{q(i)} \\ \mathbf{x}_k^{\varepsilon(i)} \end{bmatrix}, \quad i = 0, 1, 2, \dots, 2L \quad (37)$$

به طور کلی اگر میانگین‌گیری از کواترنیون‌های دلخواه  $1-p$  به  $\bar{q}$  نمایش داده شود، مقدارهای اولیه می‌شوند:

۱.۳. یکی از کواترنیون‌ها به عنوان میانگین انتخاب و با  $\bar{q}$  نمایش داده می‌شود.  
۲.۳. بردار کواترنیون اختلاف وضعیت هر کواترنیون با  $\bar{q}$  به کمک رابطه‌ی  $1$  محاسبه می‌شود.

۳.۳. بردارهای  $\mathbf{q}_{\phi,i} = \mathbf{q}_i * \bar{\mathbf{q}}^{-1}$  به بردار چرخش معادل‌شان ( $\varphi$ ) تبدیل می‌شود. به طور کلی، بردار چرخش معادل یک کواترنیون از رابطه‌ی  $38$  حاصل می‌شود:

$$\begin{aligned} \varphi(\mathbf{q}) &= \frac{1}{f} [q_1 \ q_2 \ q_3]^T \\ f &= \frac{\sin \|{}^0, 5\varphi\|}{\|{}^0, 5\varphi\|} \approx \frac{1}{2} (1 - \frac{\|{}^0, 5\varphi\|^2}{3!} + \frac{\|{}^0, 5\varphi\|^4}{5!}) \\ \|{}^0, 5\varphi\| &= \sqrt{q_1^2 + q_2^2 + q_3^2} \end{aligned} \quad (38)$$

که  $\mathbf{w}$  و  $\mathbf{u}$  به ترتیب خروجی و نویز اندازه‌گیری زیروسکوپ‌ها، و بردار چرخش  $\mathbf{u}$ ، نویز اندازه‌گیری حساسه‌ی ستاره‌نگر است. فرض براین است که نویزهای فریزنده و سنجش، مستقل از هم، سفید و دارای توزیع گاووسی هستند. بردار  $\mathbf{u}$  کواترنیون معادل با بردار چرخش  $\mathbf{u}$  است. همچنین در این نوشتارتابع  $f$  مطابق روابط  $10$ ،  $12$  و  $13$  محاسبه می‌شود.

در فیلتر کالمن درجه دوم، با استفاده از یک مجموعه نقاط سیگما  $2^1$ ، میانگین و کواریانس حالت‌ها تقریب زده می‌شوند. با حل معادلات سیستم این نقاط به وسیله‌ی معادله‌ی سیستم غیرخطی، میانگین و کواریانس پسین با دقت درجه دوم بسط تیلور حاصل می‌شود.<sup>[۱۴]</sup> اگرچه فیلتر کالمن درجه دوم و فیلتر کالمن توسعه‌یافته (EKF) از نظر پیچیدگی در یک حدودن، عموماً دقت UKF بیشتر از است.<sup>[۱۵]</sup> در ادامه نحوه‌ی عملکرد UKF توضیح داده شده است.

**۱. مقداردهی اولیه:** در این مرحله بردار حالت، ماتریس کواریانس بردار حالت رشدی‌افته<sup>۲۲</sup> و ماتریس کواریانس رشدی‌افته<sup>۲۳</sup> مطابق رابطه‌ی  $29$  مقداردهی اولیه می‌شوند.

$$\hat{\mathbf{x}}_0^a = [\hat{\mathbf{x}}_0^T \ 0]^T \quad (29)$$

که در آن  $\hat{\mathbf{x}}_0^a$  حدس اولیه‌ی بردار حالت، و  $\mathbf{P}_0^a$  ماتریس اولیه کواریانس است که با توجه به عدم قطعیت بردار  $\hat{\mathbf{x}}_0^a$  تعیین می‌شود. بردار  $\hat{\mathbf{x}}_0^a$  بردار حالت رشدی‌افته و  $\mathbf{P}_0^a$  ماتریس کواریانس رشدی‌افته است. همچنین  $\mathbf{Q}_0^a$  ماتریس کواریانس نویز فرایند است.

**۲. تولید نقاط سیگما:** در این مرحله، با استفاده از  $\hat{\mathbf{x}}_{k-1}^a$  و  $\mathbf{P}_{k-1}^a$  نقاط سیگما تولید می‌شود. ابتدا بردار  $\Delta\mathbf{x}$  مطابق رابطه‌ی  $30$  تعریف می‌شود:

$$\Delta\mathbf{x} = \begin{bmatrix} \varphi' \\ \Delta\varepsilon \\ \mathbf{w} \end{bmatrix} \quad (30)$$

بردار چرخش  $\varphi'$  و بردارهای  $\Delta\varepsilon$  و  $\mathbf{w}$  به ترتیب به منظور ایجاد نقاط سیگما مربوط به تخمین وضعیت، با یاس زیروسکوپ‌ها و نویز فرایند حول تخمین کوئنی در هر گام زمانی به کار می‌روند و چنین محاسبه می‌شوند:

$$\left. \begin{array}{l} \Delta\mathbf{x}_{k-1}^i = \gamma(\sqrt{\mathbf{P}_{k-1}^a})_i \\ \Delta\mathbf{x}_{k-1}^{i+L} = -\gamma(\sqrt{\mathbf{P}_{k-1}^a})_i \end{array} \right\} \quad i = 1, 2, \dots, L \quad (31)$$

۴. به روزرسانی اندازه‌گیری: در این مرحله، ماتریس نوآوری<sup>۲۶</sup> و ماتریس اصلاح ضربدری<sup>۲۷</sup> با استفاده از بردار سنجش محاسبه می‌شود:

$$\mathbf{P}_k^{e_y e_y} = \sum_{i=0}^L W_i^{cov} [\delta \mathbf{y}_k^i] [\delta \mathbf{y}_k^i]^T + \mathbf{R} \quad (45)$$

$$\mathbf{P}_k^{e_x e_y} = \sum_{i=0}^L W_i^{cov} [\delta \mathbf{x}_k^i] [\delta \mathbf{y}_k^i]^T \quad (46)$$

که در آن  $\mathbf{R}$  کواریانس نویز اندازه‌گیری است و بردار  $\delta \mathbf{y}_k^i$  عبارت است از:

$$\delta \mathbf{y}_k^i = \varphi(\gamma_k^i * (\hat{\mathbf{y}}_k^-)^{-1}) \quad (47)$$

با استفاده از این دو ماتریس، بهره‌ی کالمن<sup>۲۸</sup> محاسبه می‌شود:

$$\mathbf{K}_k = \mathbf{P}_k^{e_x e_y} (\mathbf{P}_k^{e_y e_y})^{-1} \quad (48)$$

حال بردار اصلاح به این ترتیب محاسبه می‌شود:

$$\mathbf{c}_k = \mathbf{K}_k \varphi(\mathbf{y}_k * (\hat{\mathbf{y}}_k^-)^{-1}) \quad (49)$$

که سه عضو اول بردار  $\mathbf{c}$  مربوط به اصلاح وضعیت است و با  $\mathbf{c}_k^\phi$  نشان داده می‌شود؛ سه عضو بعدی مربوط به اصلاح تخمین بایاس ژیروسکوپ‌هاست و با  $\mathbf{c}_k^\varepsilon$  نمایش داده می‌شود. در نهایت بردار حالت و کواریانس آن مطابق رابطه‌های ۵۰ و ۵۱ به روزرسانی می‌شوند:

$$\hat{\mathbf{x}}_k^+ = \begin{bmatrix} q(\mathbf{c}_k^\phi) * \hat{\mathbf{q}}_k^- \\ \hat{\mathbf{e}}_k^- + \mathbf{c}_k^\varepsilon \end{bmatrix} \quad (50)$$

$$\mathbf{P}_k^+ = \mathbf{P}_k^- - \mathbf{K}_k \mathbf{P}_k^{e_y e_y} \mathbf{K}_k^T \quad (51)$$

### ۳. جبران خطای سرعت و موقعیت

با بهکارگیری تلفیق مستقیم، که عملکرد کلی آن در شکل ۱ تشریح شد، وضعیت کنونی وسیله و بایاس ژیروسکوپ‌ها به دقت تخمین زده می‌شود. با این وجود، به دلیل خطای اولیه وضعیت، بایاس شتاب‌سنج‌ها و همچنین بایاس ژیروسکوپ‌ها که تا رسیدن وسیله به ارتفاع مناسب قابل تخمین نیست، در لحظه‌ی آغاز تلفیق خطای زیادی در محاسبه‌ی سرعت و موقعیت وجود دارد که مشاهده‌پذیر نیست. بنابراین، این خطای به روش تلفیق مستقیم قابل جبران نیست. بنابراین در این نوشتار با بهکارگیری پسروی و هموارسازی، وضعیت اولیه تخمین زده می‌شود؛ و نیز روشی نوین برای تخمین بایاس شتاب‌سنج‌ها ارائه شده است. در ادامه به شرح موارد پیش‌گفته می‌پردازیم.

در روش ارائه شده، خروجی ژیروسکوپ‌ها در هر گام زمانی ضبط می‌شود. با حل معادلات ناوبری وضعیت درجهت عکس و جبران بایاس ژیروسکوپ‌ها که در تلفیق مستقیم تخمین زده می‌شود، می‌توان وضعیت اولیه را تخمین زد. در پسروی نیز از الگوریتم انتگرال‌گیری دیجیتال استفاده شده است. پسروی وضعیت چنین صورت می‌گیرد:

$$\mathbf{q}_{b(k-1)}^i = \mathbf{q}_{b(k)}^i * \mathbf{q}_{b(k-1)}^{b(k)} \quad (52)$$

۴.۳. میانگین وزنی بردارهای چرخش به کمک رابطه‌ی  $\varphi$  محاسبه می‌شود. نحوه محاسبه  $\varphi$  در ادامه (رابطه‌ی ۴۴) آمده است.

۴.۵. کواترنیون معادل بردار چرخش  $\varphi$  محاسبه و با  $\mathbf{q}_\phi$  نمایش داده می‌شود.

۴.۶. کواترنیون میانگین بهوسیله‌ی رابطه‌ی  $\mathbf{q}_\phi * \bar{\mathbf{q}} := \mathbf{q}$  محاسبه می‌شود.

۷.۳. گام‌های ۲ تا ۶ تا رسیدن  $\|\varphi\|$  به دقت مورد نظر تکرار می‌شود.

با استفاده از الگوریتمی که توضیح داده شد، میانگین کواترنیون‌های  $\chi_k^{q(i)}$ ،  $i = 0, 1, 2, \dots, 2L$  محاسبه و با  $\hat{\mathbf{q}}_k^-$  نمایش داده می‌شود. میانگین بردارهای  $\chi_k^{\varepsilon(i)}$ ،  $i = 0, 1, 2, \dots, 2L$  مطابق رابطه‌ی ۳۹ محاسبه می‌شود:

$$\hat{\mathbf{e}}_k^- = \sum_{i=0}^L W_i^{mean} \chi_k^{\varepsilon(i)} \quad (39)$$

در نهایت، میانگین بردارهای حالت پیش‌بینی شده از رابطه‌ی ۴۰ به دست می‌آید:

$$\hat{\mathbf{x}}_k^- = \begin{bmatrix} \hat{\mathbf{q}}_k^- \\ \hat{\mathbf{e}}_k^- \end{bmatrix} \quad (40)$$

در ادامه، اختلاف هریک از بردارهای پیش‌بینی شده ( $\chi_k^{x(i)}$ ) و میانگین آن‌ها ( $\hat{\mathbf{x}}_k^-$ ) با  $\delta \mathbf{x}_k^i$  نمایش داده می‌شود. مؤلفه‌های این بردار عبارت اند از:

$$\delta \mathbf{x}_k^i = \begin{bmatrix} \varphi''^{i,k} \\ \delta \mathbf{e}_k^i \end{bmatrix} \quad (41)$$

محاسبه‌ی بردارهای  $\varphi''^{i,k}$  و  $\delta \mathbf{e}_k^i$  مطابق رابطه‌ی ۴۲ انجام می‌شود:

$$\varphi''^{i,k} = \varphi(\chi_k^{q(i)} * (\hat{\mathbf{q}}_k^-)^{-1}) \\ \delta \mathbf{e}_k^i = \chi_k^{\varepsilon(i)} - \hat{\mathbf{e}}_k^- \quad (42)$$

که در آن  $(\hat{\mathbf{q}}_k^- * \chi_k^{q(i)}) \varphi$  بردار چرخش معادل کواترنیون  $(\hat{\mathbf{q}}_k^- * \chi_k^{q(i)})$  است. نهایتاً، ماتریس کواریانس پیش‌بینی شده چنین محاسبه می‌شود:

$$\mathbf{P}_k^- = \sum_{i=0}^L W_i^{cov} (\delta \mathbf{x}_k^i) (\delta \mathbf{x}_k^i)^T \quad (43)$$

در ادامه با استفاده از الگوریتم شرح داده شده برای میانگین‌گیری از کواترنیون‌ها، میانگین کواترنیون‌های  $\gamma_k^i$  محاسبه و با  $\hat{\mathbf{y}}_k^-$  نمایش داده می‌شود. این بردار که در سیستم مورد مطالعه ۴ عضو دارد، بردار اندازه‌گیری میانگین ۲۵ نام دارد. همچنین وزن‌های  $W_i^{cov}$  و  $W_i^{mean}$  مطابق رابطه‌ی ۴۴ تعریف می‌شود:

$$W_i^{mean} = \frac{\lambda}{L + \lambda} \\ W_i^{cov} = \frac{\lambda}{L + \lambda} + (1 - \alpha^i + \beta) \\ W_i^{mean} = W_i^{cov} = \frac{1}{2(L + \lambda)}, \quad i = 1, 2, \dots, 2L \quad (44)$$

که در آن  $\beta$  به منظور کمینه‌سازی جملات خطای درجه چهارم مربوط به توزیع حالت استفاده می‌شود و برای توزیع گاوی مقدار ۲ برای آن بهینه است.<sup>[۱۴]</sup>

۲. به روزسانی زمان: مجموعه نقاط سیگما توسط تابع سیستم معکوس و مدل سنجش منتشر می‌شود:<sup>[۲۰]</sup>

$$\chi_k^{x(i)} = f_b(\chi_{k+1}^{x(i)}, \chi_{k+1}^{w(i)}, u_k) \quad (56)$$

$$\gamma_k^i = h(\chi_k^{x(i)}) \quad (57)$$

که در آن  $f_b$  تابع سیستم معکوس است و از روابط ۱۲، ۵۲ و ۵۴ حاصل می‌شود. بردار میانگین و ماتریس کواریانس مطابق رابطه‌ی ۵۸ و ۵۹ پیش‌بینی می‌شود:

$$\hat{\chi}_k^- = \begin{bmatrix} \hat{q}_k^- \\ \hat{\varepsilon}_k^- \end{bmatrix} \quad (58)$$

$$P_k^- = \sum_{i=0}^{2L} W_i^{cov} (\delta \chi_k^i) (\delta \chi_k^i)^T \quad (59)$$

نحوه‌ی محاسبه‌ی بردارهای  $\bar{q}_k$ ،  $\bar{\varepsilon}_k$  و  $\bar{x}_k^i$  در شرح فیلتر مالمن درجه دوم توضیح داده شد. همچنین، بردار اندازه‌گیری میانگین ( $\bar{y}_k$ )، با میانگین‌گیری از کواترنیون‌های  $\gamma_k^i$  مطابق الگوریتم معرفی شده، حاصل می‌شود.

$$\bar{y}_k^- = \sum_{i=0}^{2L} W_i^{mean} \gamma_k^{(i)} \quad (60)$$

۳. به روزسانی سنجش: در این مرحله ماتریس نوآوری  $\mathbf{R}$  و ماتریس اصلاح ضربدری  $\mathbf{P}_k^{e_y e_y}$  با استفاده از بردار سنجش محاسبه می‌شود:

$$\mathbf{P}_k^{e_y e_y} = \sum_{i=0}^{2L} W_i^{cov} [\delta \mathbf{y}_k^i] [\delta \mathbf{y}_k^i]^T + \mathbf{R} \quad (61)$$

$$\mathbf{P}_k^{e_x e_y} = \sum_{i=0}^{2L} W_i^{cov} [\delta \mathbf{x}_k^i] [\delta \mathbf{y}_k^i]^T \quad (62)$$

که در آن بردار  $\mathbf{y}_k^i$  به کمک معادله‌ی ۴۷ محاسبه می‌شود. با استفاده از ماتریس‌های  $\mathbf{P}_k^{e_y e_y}$  و  $\mathbf{P}_k^{e_x e_y}$  به محاسبه‌ی بهره‌ی کالمن می‌پردازم:

$$\mathbf{K}_k = \mathbf{P}_k^{e_x e_y} (\mathbf{P}_k^{e_y e_y})^{-1} \quad (63)$$

و در نهایت بردار حالت و کواریانس آن به روزسانی می‌شود:

$$\hat{\chi}_k^+ = \begin{bmatrix} q(c_k^\phi) * \hat{q}_k^- \\ \hat{\varepsilon}_k^- + c_k^\xi \end{bmatrix} \quad (64)$$

$$\mathbf{P}_k^+ = \mathbf{P}_k^- - \mathbf{K}_k \mathbf{P}_k^{e_y e_y} \mathbf{K}_k^T \quad (65)$$

بردارهای  $c_k^\xi$  و  $c_k^\phi$  به کمک رابطه‌ی ۴۹ حاصل می‌شود.

از آنجا که در پرواز آزاد، فقط نیروی جاذبه بر وسیله وارد می‌شود، با میانگین‌گیری از خروجی شتاب سنج‌ها می‌توان بایاس شتاب سنج‌ها را تخمین زد. در این نوشته روشی ارائه شده که می‌توان به وسیله‌ی آن بایاس شتاب سنج‌ها در مرحله‌ی پرواز تحت پیش‌راش را نیز بدقت تخمین زد و به کمک آن دقت ناوبری را در مرحله‌ی پرواز بسیار زیادی مشخص است. از آنجا که در این لحظات ماهواره‌بر نسبت به زمین ثابت است، نیروی مخصوص وارده بر وسیله در لحظات پیش از پرتاب به کمک بردار موقعیت محاسبه می‌شود:

$$\mathbf{f}_{k'}^i = \omega_{i\epsilon}^i \times (\omega_{i\epsilon}^i \times \mathbf{r}_{k'}^i) - \mathbf{g}_{k'}^i, \quad k' = 1, 2, \dots, N \quad (66)$$

که در آن  $q_{b(k-1)}^{b(k)}$  کواترنیون انتقال مرتبط با پسروی در هرگام زمانی است و چنین محاسبه می‌شود:

$$q_{b(k-1)}^{b(k)} = \begin{bmatrix} \cos(||\cdot/5\varphi_k||) \\ -\sin(||\cdot/5\varphi_k||)/||\varphi_k|| \end{bmatrix} \quad (53)$$

که در آن  $\varphi_k$  از رابطه‌ی ۱۲ حاصل می‌شود. به منظور کاهش بار محاسباتی، رابطه‌ی ۵۳ چنین ساده می‌شود:

$$q_{b(k-1)}^{b(k)} = \begin{bmatrix} 1 - \frac{||\cdot/5\varphi_k||^2}{25} + \frac{||\cdot/5\varphi_k||^4}{625} \\ -\left(\frac{||\cdot/5\varphi_k||}{25} + \frac{||\cdot/5\varphi_k||^3}{625}\right) \frac{\varphi_k}{||\varphi_k||} \end{bmatrix} \quad (54)$$

از آنجا که تخمین وضعیت و بایاس زیروسکوپ‌ها در تلفیق مستقیم چندان دقیق نیست، اگر پسروی بدون فیلتر صورت گیرد تخمین وضعیت اولیه همراه با خطای زیادی است. بنابراین در حین تلفیق مستقیم خروجی ستاره‌نگر ضبط و در طی پسروی مجدد برای فیلتر کردن مورد استفاده قرار می‌گیرد؛ این روند را «هموارسازی» می‌نامند.

هموارسازی زمانی به کار می‌رود که اصلاح یک تخمین در زمان گذشته با استفاده از سنجش کنونی مطلوب باشد.<sup>[۲۱]</sup> هموارسازی به سه دسته‌ی بازه ثابت<sup>[۲۹]</sup> نقطعه ثابت<sup>[۳۰]</sup> و تأخیر ثابت<sup>[۳۱]</sup> تقسیم می‌شود.<sup>[۲۲]</sup>

در هموارسازی بازه ثابت، کل یا بخشی از یک بازه به صورت بهینه تخمین زده می‌شود. در شکل ۲ فرایند هموارسازی بازه ثابت نشان داده شده است. با به کار گیری هموارسازی بازه ثابت، علاوه بر وضعیت نقطه‌ی شروع به کار سیستم ثوابری سماوی و وضعیت وسیله در کل بازه‌یی که در آن پسروی و تلفیق صورت گرفته، به صورت بهینه تخمین زده می‌شود. بنابراین، در این نوشته از هموارسازی بازه ثابت استفاده شده است. در این نوع هموارسازی، تلفیق در جهت معکوس مورد نیاز است که روند مشابه تلفیق در جهت مستقیم دارد.

در تلفیق معکوس نیازی به مقداردهی اولیه نیست، زیرا هموارسازی از نقطه‌یی آغاز می‌شود که بردار حالت و ماتریس کواریانس آن به روش تلفیق مستقیم تخمین زده شده است. روند تلفیق در جهت عکس به این ترتیب است:

۱. محاسبه‌ی نقاط سیگما: با استفاده از بردار حالت و ماتریس کواریانس نقاط

سیگما محاسبه می‌شود:

$$\begin{aligned} \chi_{k+1}^{a(*)} &= \hat{\chi}_{k+1}^a \\ \chi_{k+1}^{a(i)} &= \begin{bmatrix} q(\varphi_{k+1}^i) * q_{k+1} \\ \varepsilon_{k+1} + \Delta \varepsilon_{k+1}^i \\ x_{k+1}^{w(i)} \end{bmatrix}, \quad i = 1, 2, \dots, 2L \end{aligned} \quad (55)$$

شروع الگوریتم با:

$$\hat{\chi}_1^a, P_1^a$$

نتیجه تلفیق مستقیم:

$$\hat{\chi}(j|N)$$

تلفیق مستقیم

...

...

...

...

...

...

...

...

...

...

...

...

...

...

...

...

...

...

...

...

...

...

...

...

...

...

...

...

...

...

...

...

...

...

...

...

...

...

...

...

...

...

...

...

...

...

...

...

...

...

...

...

...

...

...

...

...

...

...

...

...

...

...

...

...

...

...

...

...

...

...

...

...

...

...

...

...

...

...

...

...

...

...

...

...

...

...

...

...

...

...

...

...

...

...

...

...

...

...

...

...

...

...

...

...

...

...

...

...

...

...

...

...

...

...

...

...

...

...

...

...

...

...

...

...

...

...

...

...

...

...

...

...

...

...

...

...

...

...

...

...

...

...

...

...

...

...

...

...

...

...

...

...

...

...

...

...

...

...

...

...

...

...

...

...

...

...

...

...

...

...

...

...

...

...

...

...

...

...

...

...

...

...

...

...

...

...

...

...

...

...

...

...

...

...

...

...

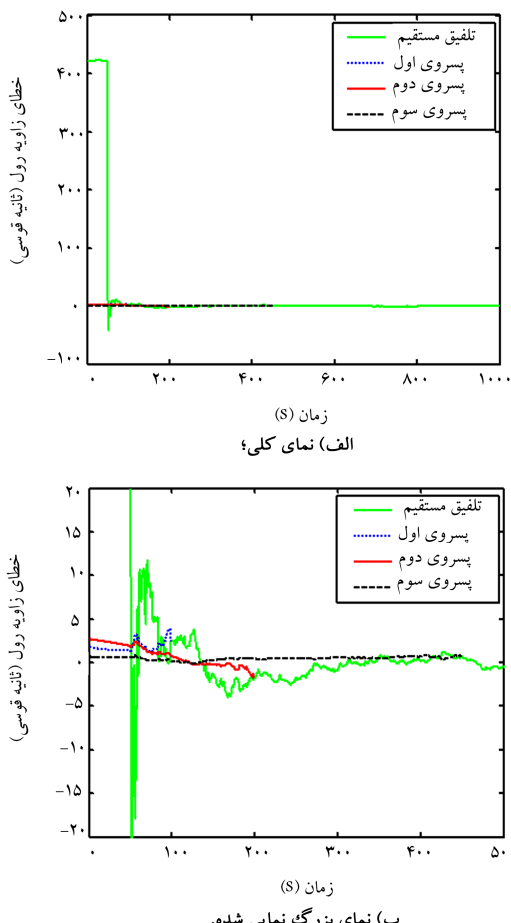
...

...

...

...

مستقیم حاصل می‌شود، ناوبری تا نقطه‌ی آغاز هموارسازی بعدی که در ۳ ثانیه‌ی ۲۰۰ آغاز می‌شود، ادامه خواهد داشت. فرایند مشابهی نیز در ۳ ثانیه‌ی ۴۵۰ صورت می‌گیرد و ناوبری جدید تا انتهای شبیه‌سازی ادامه دارد. در شکل‌های ۳ تا ۵ خطای وضعیت در تلفیق مستقیم و هموارسازی نمایش داده شده است. برای وضعیت بیشتر، هر شکل با دو بزرگ‌نمایی آورده شده است. چنان‌که مشاهده می‌شود وضعیت اولیه‌ی سیله و همچنین وضعیت آن در لحظات پسروی، با دقت زیاد تخمین زده شده است. بنابراین، ناوبری که براساس این داده وضعیت صورت گرفته دقیق‌تر از ناوبری صورت‌گرهنه براساس وضعیت حاصل از تلفیق مستقیم و بدون پسروی است. فرایند هموارسازی که دیرتر آغاز می‌شود، داده‌های بیشتری در اختیار دارد و بنابراین تخمین دقیق‌تری از وضعیت ارائه می‌دهد. درنتیجه، براساس شکل‌های ۶ تا ۸ محاسبات مربوط به سرعت و موقعیت که براساس هموارسازی متاخرتر صورت می‌گیرد، دقیق‌تر از محاسبات براساس هموارسازی متقدم‌تر است. در شکل ۶، اختلاف اندازه سرعت واقعی و تخمینی نمایش داده شده است. در شکل ۷ نیز زاویه‌ی را که بردارهای سرعت واقعی و تخمینی با هم می‌سازند نشان داده شده است. در شکل ۸ فاصله‌ی مکان‌های تخمینی و واقعی در دستگاه اینرسی نمایش داده شده است. این نتایج حکایت از تأثیر بسیار زیاد روش پیشنهادی در جبران خطاهای ناوبری دارد. به این ترتیب یک سیستم ناوبری دقیق برای تخمین وضعیت، سرعت و موقعیت به دست آمده است.



شکل ۳. خطای تخمین زاویه φ در تلفیق مستقیم و هموارسازی.

اندیس  $k'$  بیان‌گام زمانی پیش از برخاست است؛  $\hat{f}_{k'}^b$  نخ چرخش زمین،  $\hat{g}_{k'}^b$  بردار موقعیت و  $\hat{g}_{k'}^a$  بردار شتاب جاذبه است که همگی در چارچوب اینرسی بیان شده‌اند. چنان‌که ذکر شد، بهکمک پسروی و هموارسازی، وضعیت اولیه با دقت زیاد تخمین زده می‌شود. اگر خروجی ژیروسکوپ‌ها در لحظات پیش از پرتاب ضبط شده باشد، با ادامه‌ی پسروی می‌توان وضعیت وسیله را سنبت به چارچوب اینرسی در لحظات پیش از پرتاب نیز به دقت تخمین زد. بنابراین نیروی مخصوص وارد بر وسیله، با دقت زیاد عبارت است از:

$$\hat{f}_{k'}^b = C_i^{b(k')} f_{k'}^i \quad (67)$$

از سوی دیگر، خروجی شتاب‌سنج‌ها و نیروی مخصوص مطابق رابطه‌ی ۶۸ مرتبط‌اند:

$$\tilde{f}_{k'}^b = f_{k'}^b + b + w_{k'}^a \quad (68)$$

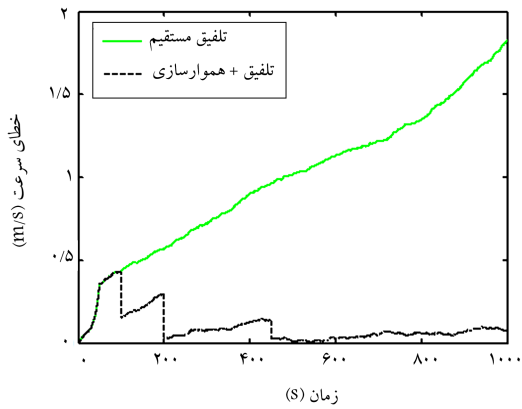
با فرض نویز با میانگین صفر، بایاس شتاب‌سنج‌ها تخمین زده می‌شود:

$$b \approx \frac{1}{n} \sum_{k'=-n}^{-1} (\tilde{f}_{k'}^b - f_{k'}^b) \quad (69)$$

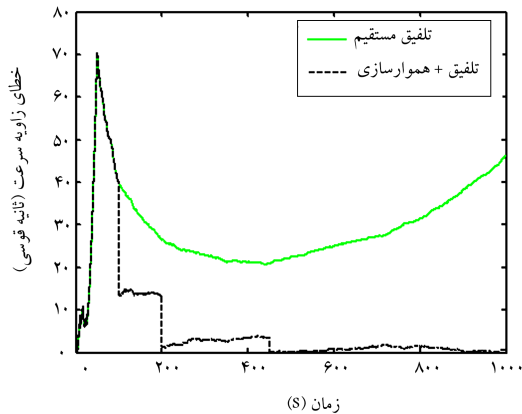
به این ترتیب، وضعیت وسیله در لحظات پیشین و بایاس شتاب‌سنج‌ها با دقت زیاد تخمین زده می‌شوند. با انجام یک ناوبری جدید براساس وضعیت هموار شده‌ی لحظات پیشین و همچنین جبران خطای حسگرهای اینرسی، یک ناوبری جدید به موازات ناوبری جاری، برای سرعت و موقعیت صورت می‌گیرد. با رسیدن ناوبری جدید به ناوبری جاری (زمان حال)، داده‌های سرعت و موقعیت ناوبری جدید، که بسیار دقیق‌ترند، جایگزین داده‌های ناوبری جاری می‌شود. به این ترتیب خطای سرعت و موقعیت با دقت زیاد جبران می‌شود.

بهمنظور بررسی عملکرد سیستم ناوبری تلفیقی طراحی شده در نوشتار حاضر، این سیستم برای ناوبری یک ماهاواره بر شبیه‌سازی شده است. در این شبیه‌سازی، ماهاواره بر یک ماهاواره را در مداری دایره‌ی به ارتفاع ۲۰۰ کیلومتر تزیین می‌کند. زاویه‌ی میل مدار صفر است و ماهاواره بر از استوا و طول جغرافیایی ۵۲ درجه پرتاب و پس از ۴۳۷ ثانیه در مدار تزیین می‌شود؛ مرحله‌ی پرواز با پیش‌رانش نیز همین مقدار به طول می‌انجامد. مدت شبیه‌سازی ۱۰۰۰ ثانیه است، و بایاس و خطای تصادفی ژیروسکوپ‌ها به ترتیب  $h/10^0.05$  و  $h/10^0.5$  است؛ بایاس و خطای تصادفی شتاب‌سنج‌ها به ترتیب  $w\mu\text{m}$  و  $50\mu\text{g}$  است. خطا تراز اولیه سیستم ناوبری اینرسی برابر  $15^\circ$  و خطای اولیه سمت آن  $7^\circ$  است.

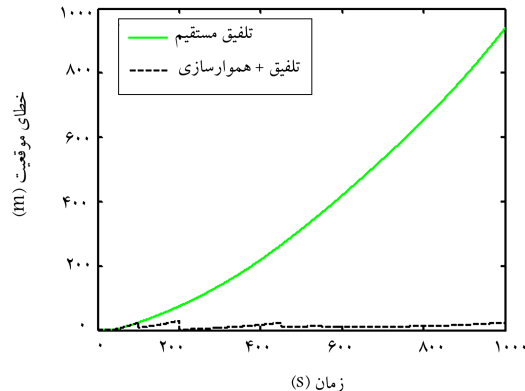
سیستم ناوبری سماوی  $50$  ثانیه پس از پرتاب ماهاواره بروز بهکار می‌کند. بنابراین، از لحظه‌ی پرتاب به مدت  $50$  ثانیه، ناوبری اینرسی بدون تلفیق انجام می‌شود. بهمختص شروع بهکار سیستم ناوبری سماوی تلفیق مستقیم آغاز می‌شود و وضعیت و بایاس ژیروسکوپ‌ها، مطابق شکل ۱ تخمین زده می‌شود. از ۳ ثانیه‌ی  $100$  یک فرایند هموارسازی آغاز می‌شود و بهوسیله‌ی آن وضعیت وسیله در لحظه‌ی پرتاب تخمین زده می‌شود. همچنین بهکمک روش ارائه شده، بایاس شتاب‌سنج‌ها براورد می‌شود. افزون بر این، طی فرایند هموارسازی وضعیت وسیله در لحظات پیش از ۱۰۰ ثانیه به دقت تخمین زده می‌شود. براساس این داده‌ی وضعیت و همچنین جبران خطای حسگرهای اینرسی، یک ناوبری جدید تا نقطه‌ی آغاز هموارسازی صورت می‌گیرد و نتایج مربوط به سرعت و موقعیت ناوبری جدید، جایگزین نتایج ناوبری جاری می‌شود. براساس وضعیت و بایاس ژیروسکوپ تخمینی که از تلفیق



شکل ۶. مقایسه اندازه اختلاف میان سرعت تخمینی و سرعت واقعی.



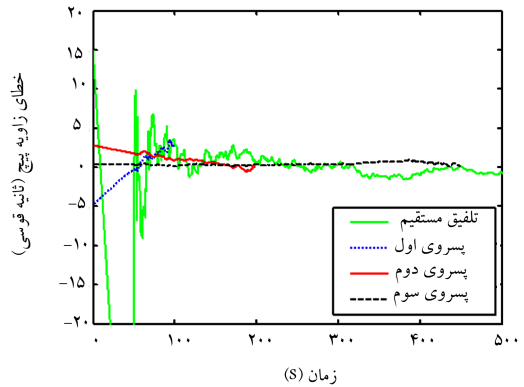
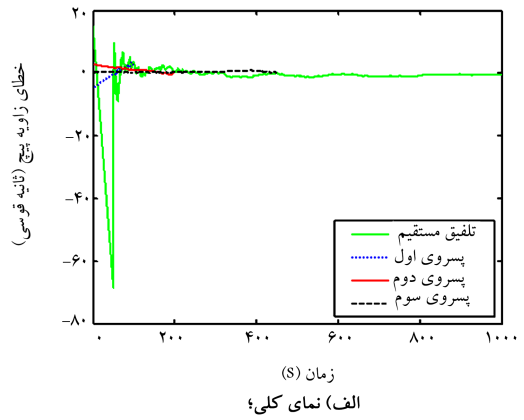
شکل ۷. مقایسه اندازه زاویه بین سرعت تخمینی و سرعت واقعی.



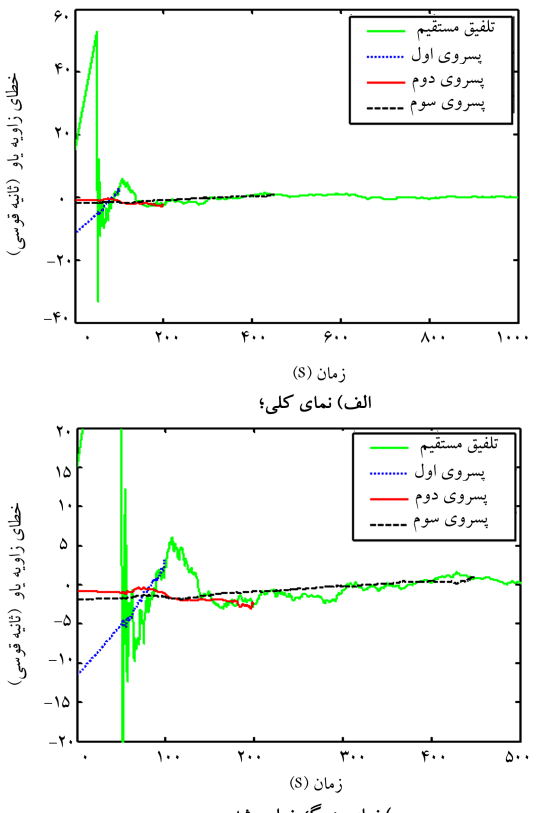
شکل ۸. مقایسه اندازه فاصله‌ی مکان تخمینی از مکان واقعی.

**۴. نتیجه‌گیری**

در این نوشتار روشی ارائه شد که بهکمک آن خطای سرعت و موقعیتی که در هنگام شروع به کار حساسه‌ی ستاره‌نگر در یک سیستم تلفیقی اینرسی سماوی وجود دارد، جبران شود. در مطالعات پیشین<sup>[۱]</sup> علی‌رغم استفاده از UPF و تحمیل بار محاسباتی، خطاهای سرعت و موقعیت جبران نمی‌شود. اما در روش پیشنهادی با بهکارگیری UKF، که هزینه‌ی محاسباتی کم‌تری دارد، جبران این خطاهایا با دقت زیاد میسر شده است. افزون بر این، درنتیجه‌ی



شکل ۴. خطای تخمین زاویه ۰ در تلفیق مستقیم و هموارسازی.



شکل ۵. خطای تخمین زاویه ۰ در تلفیق مستقیم و هموارسازی.

ازفون براین، در مطالعات یادشده از زوایای اوپلر و ماتریس انتقال در ناوبری و تلفیق استفاده شده که این عمل بار محاسباتی را زیاد می‌کند و به علاوه احتمال تکینگی وجود دارد. در نوشتار حاضر، در تمامی مراحل از کواترنیون‌ها استفاده شده و تمهیدات لازم برای تلفیق لحاظ شده است. در نتیجه هیچ ترم سینوس و کسینوسی ظاهر نمی‌شود که این امر موجب کاهش چشمگیر باز محاسباتی می‌شود.

از آنجاکه در تلفیق مستقیم معکوس از UKF استفاده شده است و در این فیلتر تابع توزیع احتمال به صورت گوسی فرض می‌شود، پیشنهاد می‌شود برای افزایش دقت از فیلترهای پیشرفته‌تری که برای همه توابع توزیع احتمال کاربرد دارد استفاده شود. البته باید بررسی شود که فیلتر جایگزین، هزینه‌ی محاسباتی زیادی تحمل نکند.

خطی‌سازی دقت تلفیق مستقیم از دقت تلفیق روش ارائه شده که از معادلات غیر خطی استفاده می‌کند، کمتر است. در یکی از مطالعات دیگر<sup>[10]</sup> با خطی‌سازی معادلات ناوبری و استفاده از ماتریس انتقال سعی در جبران خطاهای سرعت و موقعیت شده است. چنان که گفته شد، روش ارائه شده در مطالعه‌ی مذکور بدلیل استفاده از معادلات غیر خطی، الگوریتم انتگرال‌گیری دیجیتال، پسروی و هموارسازی دقت بیشتری دارد. از سوی دیگر، در این مرجع روشی برای تخمین بایاس شتاب‌سنج‌ها در پرواز آزاد ارائه شده است. اما در نوشتار حاضر روشی ارائه شده که هم در پرواز تحت پیش‌راشن و هم در پرواز آزاد قادر به تخمین بایاس شتاب‌سنج‌هاست.

## پابلوشت‌ها

1. celestial navigation
2. direct horizon-sensing
3. indirect horizon-sensing
4. unscented Kalman filter
5. inertial measurement unit
6. star sensor
7. unscented particle filter
8. transition matrix
9. state vector
10. extended Kalman filter
11. forced flight
12. free flight
13. inertial mechanization
14. inertial frame
15. body frame
16. incremental angles
17. incremental velocities
18. star catalog
19. process noise
20. measurement noise
21. sigma points
22. augmented state vector
23. augmented covariance matrix
24. scaling factor
25. mean observation
26. innovation matrix
27. cross-correlation matrix
28. Kalman gain
29. fixed-interval
30. fixed-point
31. fixed-lag
32. innovation matrix
33. cross-correlation matrix

## منابع (References)

1. Long, A.C., Leung, D., Folta, D. and Gramling, C. "Autonomous navigation of high-Earth satellites using celestial objects and Doppler measurements", *In Proceedings of AIAA/AAS Astrodynamics Specialist* (2000).

2. White, R.L. and Gounley, R.B. "Satellite autonomous navigation with SHAD", *The Charles Stark Draper Laboratory* (April 1987).
3. Lillestrand, R.L. and Carroll J.E. "Horizon-based satellite navigation system", *IEEE Transactions on Aerospace and Navigational Electronics*, **9**(1), pp. 127-131 (1964).
4. Xinlong, W. and Shan, M. "A celestial analytic positioning method by stellar horizon atmospheric refraction", *Chinese Journal of Aeronautics*, **22**(3), pp. 293-300 (2009).
5. Riant, P. "Analysis of a satellite navigation system by stellar refraction", in: *36th Congress of the International Astronautical Federation*, Stockholm, Sweden, pp. 1-8 (7-12 October 1986).
6. Gounley, R., White, R. and Gait, E. "Autonomous satellite navigation by stellar refraction", *Journal of Guidance, Control, and Dynamics*, **7**(2), pp. 129-134 (1984).
7. Ning, X. and Fang, J. "An autonomous celestial navigation method for LEO satellite based on unscented Kalman filter and information fusion", *Aerospace Science and Technology*, **11**(2), pp. 222-228 (2007).
8. Ning, X. and Fang, J. "A new autonomous celestial navigation method for the lunar rover", *Robotics and Autonomous Systems*, **57**(1), pp. 48-54 (2009).
9. Ali, J. and Fang, J. "Realization of an autonomous integrated suite of strapdown astro-inertial navigation systems using unscented particle filtering", *Computers & Mathematics with Applications*, **57**(2), pp. 169-183 (2009).
10. Xu, F. and Fang, J. "Velocity and position error compensation using strapdown inertial navigation system/celestial navigation system integration based on ensemble neural network", *Aerospace Science and Technology*, **12**(4), pp. 302-307 (2008).
11. Moghtadai Rad, A., Heyrani Nobari, J., Nikkhah, A.A., "Error analysis and compensation of inertial navigation system height channel in high altitude aiding star tracker", *Journal of Control*, **6**(4), pp.61-76, (in Persian) (2013).

12. Li, Y.-H., Fang, J.-C. and Jia, Z.-K. "Simulation of INS/CNS/GPS integrated navigation", *Journal of Chinese Inertial Technology*, **6**, p.1 (2002).
13. Wang, H.-B. and Chai, Y.-B. "Position and attitude integrated method for INS/GPS/CNS integrated systems based on federated filter", *Journal of Chinese Inertial Technology*, **2**, (2008).
14. Wan, E.A. and Van Der Merwe, R. "The unscented Kalman filter for nonlinear estimation", *In proceedings of Adaptive Systems for Signal Processing, Communications, and Control Symposium 2000, AS-SPCC, The IEEE 2000, Lake Louise, Alta, N88-13313*, pp. 153-158 (1987).
15. Savage, P.G., *Strapdown Analytics*, Strapdown Associates, **1**, 1556 p. (2000).
16. Britting, K.R., *Inertial Navigation Systems Analysis*, Wiley, New York (1971).
17. Titterton, D. and Weston, J. *Strapdown Inertial Navigation Technology*, Second Edition, IEE Radar, Sonar, Navigation and Avionics Series, **17**, 549 p. (2004).
18. Roshanian, J., Hasani, S.M., Yazdani, Sh. and Ebrahimi, M. " Star catalog criteria selection and mission catalog update for a typical star tracker", *Journal of Space Science and Technology (ISST)*, **5**(2), pp.1-8, (in Persian) (2012).
19. Crassidis, J.L. and Junkins, J.L., *Optimal Estimation of Dynamic Systems*, **24**, CRC press (2011). Aerospace and Navigational Electronics 1963, **10**(3), pp. 247-270, Conference, Denver, CO (August 2000).
20. Shin, E.H., *Estimation Techniques for Low-Cost Inertial Navigation*, UCGE Report 20219 (2005).
21. Brown, R.G. and Hwang, P.Y., *Introduction to Random Signals and Applied Kalman Filtering*, John Wiley & Sons (1992).
22. Meditch, J.S., *Stochastic Optimal Linear Estimation and Control*, McGraw- Hill (1969).